



تاریخ دریافت: ۱۳۹۰/۷/۲۰

تاریخ پذیرش: ۱۳۹۱/۸/۱۴

بررسی تأثیر تیمار لایه‌نشانی در سطوح مختلف هدایت الکتریکی بر ویژگی‌های کاغذ

- ❖ **حمیدرضا رودی**: استادیار گروه مهندسی فناوری سلولز و کاغذ، دانشکده مهندسی انرژی و فناوریهای نوین، دانشگاه شهید بهشتی، زیراب، ایران
- ❖ **یحیی همزة**: دانشیار گروه علوم و صنایع چوب و کاغذ، دانشکده منابع طبیعی، دانشگاه تهران، کرج، ایران
- ❖ **قبر ابراهیمی**: استاد گروه علوم و صنایع چوب و کاغذ، دانشکده منابع طبیعی، دانشگاه تهران، کرج، ایران
- ❖ **ربیع بهروز اشکیکی**: دانشیار گروه علوم و صنایع چوب و کاغذ، دانشکده منابع طبیعی نور، دانشگاه تربیت مدرس، نور، ایران
- ❖ **موسى محمدنژاد**: دانشیار گروه خمیر و کاغذ، مؤسسه تکنولوژی آسیا (AIT)، تایلند

چکیده

خصوصیات سطحی الیاف سلولزی با تکنیک لایه‌نشانی اصلاح می‌شود. عوامل مختلفی بر کارایی این تکنیک مؤثرند. ویژگی‌های سوسپانسیون الیاف مانند میزان هدایت الکتریکی از این عوامل اند که بر نتایج فرایند لایه‌نشانی اثر می‌گذارند. در این تحقیق، خمیر کاغذ تهیه شده از الیاف بازیافته با تکنیک لایه‌نشانی با پالیمرهای طبیعی نشاسته کاتیونی و آئیونی در سطوح مختلف هدایت الکتریکی لایه‌نشانی شدند و کاغذهای دست‌ساز با وزن ۶۰ گرم بر متر مربع تهیه و ویژگی‌های مختلف فیزیکی و مکانیکی آن‌ها بررسی شد. نتایج نشان داد که تیمار لایه‌نشانی الیاف بازیافته سبب بهبود زیادی در دانسیتۀ ظاهری و شاخص کیفیت شکل‌گیری کاغذهای می‌شود؛ در حالی که زیری سطح تغییر مشخصی نداشت. مقاومت به کشش و پیوند داخلی کاغذ به عنوان شاخص‌های قابلیت پیوندپذیری بین الیاف نیز بر اثر تیمار لایه‌نشانی روند افزایشی پیشار خوبی نشان دادند. نتایج نشان داد تغییر میزان هدایت الکتریکی سوسپانسیون الیاف، اثر دوگانه‌ای بر ویژگی‌های اکتروشیمیایی سطح الیاف و جذب نشاسته دارد. کمترین سطح غلظت نمک NaCl ۰/۰۰۱ مولار با هدایت الکتریکی $140 \mu\text{S}/\text{cm}$ مطلوب برای لایه‌نشانی تعیین شد.

واژگان کلیدی: الیاف بازیافته، تکنیک لایه‌نشانی، قابلیت پیوندپذیری، ویژگی‌های ساختاری، نشاسته کاتیونی و آئیونی، هدایت الکتریکی.

مقدمه

است [۵].

با تیمار LbL، خصوصیات الکتروشیمیایی سطح الیاف بهبود می‌یابد [۳، ۵]. در نتیجه، با جذب بیشتر مولکول‌های پلیمری افزاینده مقاومت، پیوند بین الیاف توسعه یافته و مقاومت‌های آن افزایش می‌یابد. کارایی این تکنیک به عوامل گوناگونی بستگی دارد. ویژگی‌های محیط تیمار LbL (سوسپانسیون الیاف)، از جمله کشش یونی سیستم (مقدار الکترولیت)، از مهم‌ترین این عوامل اند [۳، ۶]. مثلاً، افزایش غلظت نمک با تغییر در خواص آب، تأثیر زیادی بر میزان جذب ذرات پلیمر بر روی سطح الیاف دارد، زیرا از یک طرف با کاهش آزادسازی یون H^+ ، درجه یونیزاسیون سطح الیاف و بهمنبال آن، پتانسیل زتا کاهش می‌یابد و از طرف دیگر، با تغییر پیکربندی ذرات پلیمر از طریق کاهش شعاع هیدرودینامیکی مولکول‌های پلیمر و کاهش قطر آن‌ها، موجب کاهش جذب آن‌ها می‌شود [۳]. با توجه به اینکه اکثر صنایع کاغذسازی در ایران از الیاف بازیافتی برای تولید کاغذ استفاده می‌کنند، در این تحقیق اثر چندلایه‌نشانی نشاسته کاتیونی و آنیونی بر خواص الکترواستاتیکی سطح الیاف بازیافتی با تأکید بر اثر میزان الکترولیت سوسپانسیون خمیر کاغذ بر روی روند جذب نشاسته به کمک الیاف بازیافتی و آثار آن بر خواص کاغذ بررسی می‌شود.

مواد و روش‌ها

خمیر کاغذ

در این پژوهش، از الیاف پالایش نشده و بدون نرم‌کارتن‌های کنگره‌ای کهنه (OCC)^۱، به عنوان یکی از رایج‌ترین منابع فیبری صنایع کاغذسازی ایران، استفاده شده است. برای تهیه این خمیر کاغذ، کاغذها پس از حذف قسمت‌های زائد، با دست در اندازه‌های تقریبی $2/5 \times 2/5$ سانتی‌متری ریز شدند. سپس طبق روش‌های استاندارد آیین‌نامه SCAN^۲، پس از خیساندن در آب

به‌طور کلی، مقاومت‌های کاغذ با دو روش مکانیکی و شیمیایی افزایش می‌یابد. ویژگی‌های الکتروشیمیایی سطح الیاف در هر دو روش توسعه یافته و تعامل بین الیاف و در نتیجه سطح تماس و پیوند بین آن‌ها افزایش می‌یابد. پالایش با تغییراتی که در ساختار الیاف ایجاد می‌کند، موجب افزایش پیوند پذیری آن‌ها می‌شود، اما سبب افزایش درصد نرم‌های الیاف، کاهش قابلیت آبگیری از سوسپانسیون خمیر کاغذ، و کاهش ماتی کاغذ نیز می‌شود. این موضوع در مورد الیاف بازیافتی بسیار مهم است، زیرا از یک طرف، تغییرات مثبت زیادی در این الیاف بر اثر پالایش ایجاد نمی‌شود و از طرف دیگر، بر اثر تیمار مکانیکی، سهم نرم‌های الیاف در خمیر کاغذ بیشتر افزایش می‌یابد. برای کاهش تأثیرات منفی پالایش مدت‌های تیمارهای شیمیایی، از جمله کاربرد افزودنی‌های شیمیایی مقاومت‌دهنده مانند نشاسته به کار می‌رود. هرچه مقدار بیشتری از ترکیبات افزاینده مقاومت خشک کاغذ بر روی الیاف کاغذ ماندگار شود، مقاومت‌های کاغذ به مقدار بیشتری افزایش می‌یابد. در این راستا، گزارش‌های اخیر حاکی از آن است که می‌توان مقاومت‌های الیاف سلولزی را به‌طور چشمگیری با تکنیک لایه‌نشانی (LbL)^۳ افزایش داد [۱].

نانوفناوری چندلایه‌نشانی پلی‌الکترولیتی (PEM)^۴، فرایندی است که دچر معرفی کرد [۲]. این فرایند با لایه‌گذاری متوالی مواد کاتیونی و آنیونی بر روی بستری که بار الکتریکی دارد، انجام می‌شود. در واقع، جاذبه الکترواستاتیکی بین ذرات یونی و سطح یونیزه بستر عامل اصلی در جذب پلی‌الکترولیت از سوسپانسیون است [۱، ۳، ۴]. این روش در زمینه تحقیقات خمیر کاغذ، برای افزایش مقاومت‌های الیاف بررسی شده است [۱]. علاوه بر این، امکان ساخت کاغذهای ویژه از جمله کاغذ هادی الکتریسیته با استفاده از آن نیز گزارش شده

1. Layer-by-Layer

2. Polyelectrolyte Multilayering

3. Old Corrugated Container

الیاف، از محلول نمک NaCl در آب خالص در سه سطح ۰/۱، ۰/۰۱ و ۰/۰۰۱ مولار به ترتیب با هدایت الکتریکی ۱۰/۵۷، ۱/۱۶ و ۰/۱۴ mS/cm استفاده شد. در تمام مراحل آزمایش نیز از آب خالص تهیه شده به روش اسمزی معکوس با میزان الکتروولیت $\mu\text{S}/\text{cm}$ $\approx ۱۴/۵$ استفاده شد.

تکنیک لایه‌نشانی

برای هر بار تیمار لایه‌نشانی، ۵۰۰ میلی لیتر سوسپانسیون خمیرکاغذ OCC حاوی ۳ گرم خمیرکاغذ خشک (درصد خشکی حدود ۰/۶) با $\text{pH} \approx ۷/۵$ تهیه شد. از دستگاه همزن (DDJ^۲) برای اختلاط خمیرکاغذ و محلول‌های نشاسته کاتیونی و آنیونی و تشکیل چندلایه‌های متوالی پلیمری کاتیونی-آنیونی استفاده شد. سوسپانسیون تهیه شده در بشر یکلیتری ریخته شده و به کمک دستگاه DDJ با دور ثابت ۷۵۰ در دقیقه، به مدت ۱۰ دقیقه، با محلول‌های نشاسته تهیه شده به هم زده شد. به علت آنیونی بودن سطح الیاف، اولین لایه‌نشانی، با نشاسته کاتیونی با مقدار ۱ درصد بر مبنای خمیرکاغذ خشک انجام شد. پس از پایان زمان اختلاط، محتویات ظرف DDJ با دستگاه قیف بوختر بر روی کاغذ صافی شماره ۴ آبگیری و خمیرکاغذ با آب خالص شست و شو داده شد و دوباره آبگیری از آن انجام گرفت. سپس با الکتریکی سطح الیاف و تغییرات آن (کاتیونی و آنیونی شدن سطح الیاف پس Mutek SZP^{۰/۶} از هر لایه‌نشانی) به کمک دستگاه اندازه‌گیری شد. پس از اطمینان از کاتیونی بودن الیاف، در مرحله بعدی، لایه‌نشانی با نشاسته آنیونی مانند مرحله اول صورت گرفت. تا این مرحله یک جفت لایه بر روی سطح الیاف تشکیل شده است. برای تشکیل لایه‌های بیشتر، که در این پژوهش در هشت لایه انجام گرفت، مراحل گفته شده عیناً تکرار شد. خمیرکاغذها پس از تیمار LbL، شست و شو و با درصد خشکی تقریبی ۳۰ درصد در داخل پلاستیک‌های زیپ‌دار قرار

شهری (با هدایت الکتریکی تقریبی $۲۲۵ \mu\text{S}/\text{cm}$) حداقل به مدت ۴ ساعت، الیاف آن با استفاده از دستگاه کوبنده آزمایشگاهی والی جدا شدند. در ادامه، به منظور حذف آشغالها و واژد، الیاف موجود در خمیرکاغذ، با غربال مسطح آزمایشگاهی با شیارهایی به اندازه $۰/۰۰۸$ اینچ ($۰/۰$ میلی‌متر) الک شدند. سپس برای تهیه خمیرکاغذ OCC بدون نرم، خمیرکاغذ تهیه شده به کمک دستگاه کلاسه‌بندی الیاف بر روی غربال ۲۰۰ مش غربال شد. الیاف جمع شده در پشت غربال ۲۰۰ مش، به عنوان خمیرکاغذ الیاف OCC بدون نرم، برای ادامه آزمایش‌ها استفاده شد.

مواد شیمیایی

نشاسته کاتیونی استفاده شده با درجه استخلاف $۰/۰۰۲۹ - ۰/۰۰۲۷$ (mol/mol) از نوع کواترنری تهیه شده از گیاه تاپیوکا^۱ و با نام تجاری ExcelCat ۲۷ است. نشاسته آنیونی با چگالی بار g/eq . ۹۴۰- تهیه شده از گیاه تاپیوکا با نام تجاری ExcelSize IA1101 استفاده شد. این نشاسته‌ها از شرکت Siam Modified Starch در کشور تایلند تهیه شدند. بر اساس دستورالعمل شرکت عرضه‌کننده، نشاسته کاتیونی پس از پخت، محلول در آب است. بنابراین، به منظور آماده‌سازی آن، محلول ۱ درصد آن (محلول یکنواخت ۱ گرم نشاسته در ۱۰۰ میلی‌لیتر آب خالص)، به مدت ۳۰ دقیقه بر روی اجاق الکتریکی به آرامی حرارت داده شد تا به دمای ۹۵ درجه سلسیوس برسد. سپس در این دما به مدت ۳۰ دقیقه دیگر نگهداری شد و در نهایت، پس از خنکشدن تا دمای محیط، در همان روز استفاده شد. نشاسته آنیونی دارای حلالت در آب سرد است.

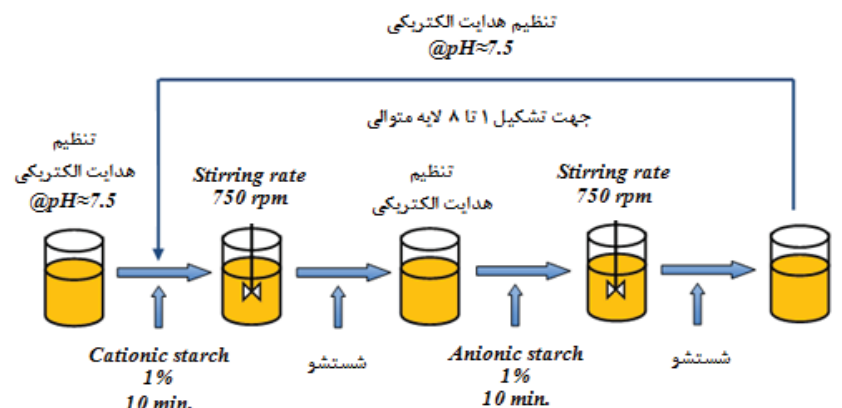
میزان الکتروولیت سوسپانسیون الیاف با کمک دستگاه EC-METER-CM21P (DDK.TOA) ساخت شرکت (EC-METER-CM21P) و با واحد $\mu\text{S}/\text{cm}$ یا mS/cm اندازه‌گیری شد. برای تنظیم میزان الکتروولیت (میزان هدایت الکتریکی) سوسپانسیون

1. Tapioca

2. Dynamic Drainage Jar

طرح‌واره‌ای از مراحل فرایند لایه‌نشانی انجام شده در این پژوهش را نشان می‌دهد.

داده شدند و تا مرحله ساخت کاغذ دستساز در سردخانه با دمای حدود 5°C نگهداری شدند. شکل ۱



شکل ۱. طرح شماتیک تکنیک LbL استفاده شده در این تحقیق

هدایت الکتریکی در سه سطح، و تعداد لایه‌ها در هشت سطح جمع‌آوری و روند تغییرات آن‌ها مقایسه شد.

بحث و نتایج

تغییرات خواص سطح الیاف-تغییرات پتانسیل زتا
هنگامی که یک پلی‌الکترولیت جذب سطح می‌شود، در صورتی که مقدار آن زیاد باشد، سبب معکوس شدن بار الکتریکی سطح می‌شود [۷]. تحقیقات اخیر نشان می‌دهد بار الکتریکی آخرین لایه جذب شده بر روی الیاف سلولزی را می‌توان با روش اندازه‌گیری پتانسیل جریانی (پتانسیل زتا) تعیین کرد [۴]. از طرفی، هدایت الکتریکی تأثیر زیادی بر میزان یونیزاسیون سطح الیاف [۳] و پیکربندی مولکول‌های پلی‌الکترولیت دارد [۸، ۹]. بنابراین، در این تحقیق، برای حصول اطمینان از جذب نشاسته کاتیونی و آنیونی، و تغییرات بار الکتریکی سطح الیاف بر اثر لایه‌نشانی‌های متوالی، تغییرات پتانسیل جریانی بررسی شد.

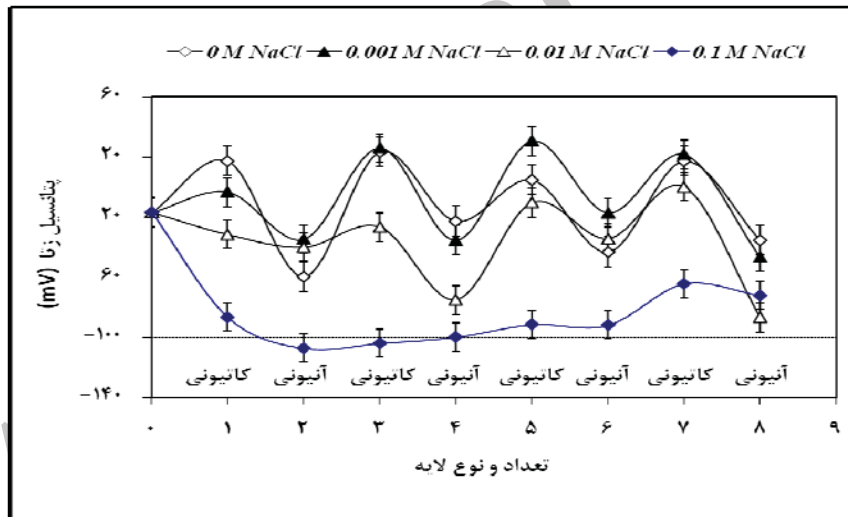
همان‌طور که در شکل ۲ دیده می‌شود، پتانسیل اندازه‌گیری شده در شرایط بدون نمک در اولین لایه کاتیونی است، که حاکی از جذب نشاسته کاتیونی

آزمایش‌های کاغذهای دستساز

کاغذهای دستساز با وزن پایه ۶۰ گرم بر متر مربع و با ابعاد $16.5 \times 16.5 \text{ cm}^2$ طبق استاندارد TAPPI T205 SP-۹۵ تهیه شدند. سپس نمونه‌ها بر اساس استاندارد SCAN P-۲:۷۵ در اتاق مخصوص آزمایش‌های کاغذ در شرایط استاندارد رطوبت نسبی $\approx 50 \pm 2\%$ RH و دمایی $T \approx 23 \pm 1^{\circ}\text{C}$ تا زمان آزمایش نگهداری شدند. ضخامت نمونه‌ها به وسیله دستگاه L&W Micrometer ۵۱ طبق استاندارد SCAN P-۷ اندازه‌گیری شد. شاخص کیفیت شکل‌گیری کاغذهای طبق استاندارد TAPPI T56۳ با دستگاه Formation Analyzer موجود در کارخانه Norske Skog کشور تایلند اندازه‌گیری شد. زبری سطح کاغذ با دستگاه L&W Bendtsen Tester، بر اساس استاندارد SCAN P-۲۱ اندازه‌گیری شد. شاخص مقاومت به کشش کاغذ، به کمک دستگاه MTS و بر اساس دستورالعمل SCAN MTS، آزمون پیوند داخلی کاغذ (نوع Scott) توسط Scott Internal Bond Strength Tester, Model-B طبق دستورالعمل TAPPI T-۸۳۳ pm-۹۸ انجام شد. نتایج حاصل از اندازه‌گیری‌ها با توجه به دو متغیر

آمده است. در ادامه، با افزایش میزان هدایت الکتریکی، پتانسیل زتا سطح الیاف کاهش یافته است. این نتیجه منطبق بر گزارش‌های قبلی است، زیرا فشرده شدن لایه دوگانه یونی [۱۲، ۱۱]، کاهش یونیزاسیون گروههای کربوکسیلیک اسید سطح الیاف [۷، ۱۳]، کاهش انرژی آزاد واکنش [۷]، و کاهش جذب پلیمرها [۸]، از دلایل تأثیر سطوح بالای هدایت الکتریکی بر کاهش مقدار جذب نشاسته کاتیونی ذکر شده‌اند. در واقع، هدایت الکتریکی اثر دوگانه مثبت و منفی بر جذب نشاسته نشان داد؛ طوری که در سطوح کمتر هدایت الکتریکی، افزایش جذب، و در سطوح بیشتر، کاهش جذب نشاسته را به دنبال دارد.

می‌باشد. جذب در لایه اول، هم بر اثر نیروهای جاذبه الکترواستاتیکی و هم واکنش‌های غیر یونی، نظری پیوندهای هیدروژنی، انجام می‌شود [۹]. بنابراین، اثر همزمان نیروهای جاذبه الکترواستاتیکی و پیوندهای هیدروژنی باعث افزایش جذب نشاسته و افزایش پتانسیل زتا شده است، اما نکته جالب این است که در لایه‌های بعدی، پتانسیل زتا حاصل از لایه‌نشانی در غلظت یونی 0.001 M NaCl مولار نمک کلرید سدیم بیشتر از شرایط بدون نمک است. پیکربندی مؤثرتر و کمتر توسعه یافته مولکول‌های نشاسته [۱۰] از یک طرف، و اندازه مؤثر مولکول‌ها [۸] از طرف دیگر، باعث افزایش جذب نشاسته شده است. در نتیجه، الیاف کاتیونی‌شده بیشتری در لایه‌های بعدی به دست



شکل ۲. تغییرات پتانسیل زتا الیاف با لایه‌نشانی نشاسته کاتیونی و آنیونی در سطوح مختلف هدایت الکتریکی

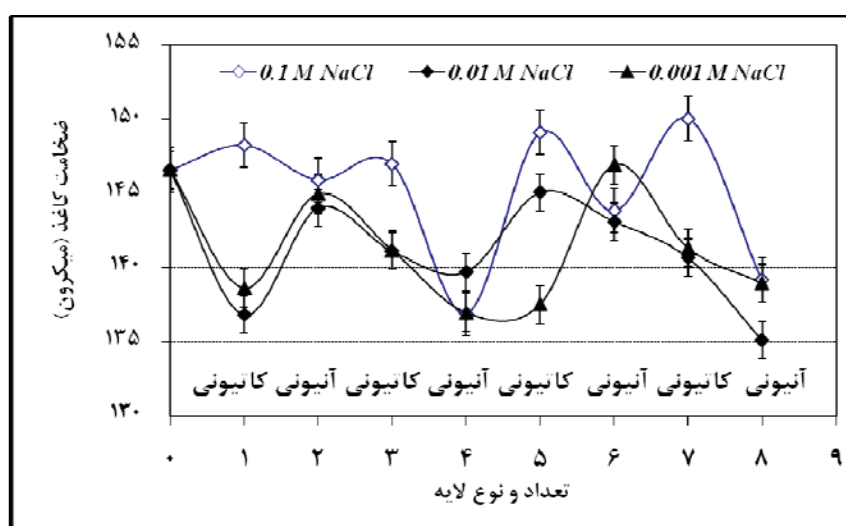
فسرده شدن و اتصال بهتر بین الیاف خواص مقاومتی بهتری خواهد داشت. شکل ۳ اندازه‌گیری‌های مربوط به تغییرات ضخامت کاغذهای تهیه شده را نشان می‌دهد. همان‌طور که دیده می‌شود، با تشکیل چند لایه‌های پلیمری نشاسته کاتیونی-آنیونی بر روی سطح الیاف OCC، با تغییر هدایت الکتریکی سوپرانسیون الیاف، ضخامت کاغذها تغییر کرده است. به طوری که با کاهش هدایت

ویژگی‌های ساختاری

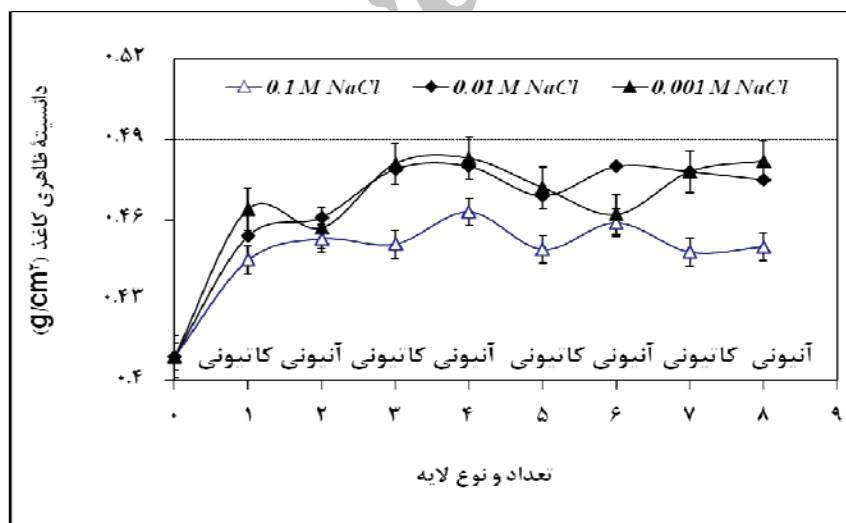
در این تحقیق، ویژگی‌های ساختاری شامل ضخامت، دانسیتۀ ظاهری، زبری سطح، و کیفیت شکل گیری کاغذها ارزیابی شد. مقایسه ضخامت کاغذها در وزن‌پایه برابر می‌تواند یکی از معیارهای پیش‌بینی ویژگی‌های فیزیکی و مقاومتی آن باشد. با فرض ثابت بودن وزن‌پایه، کاغذهای با ضخامت کمتر به دلیل

که حاکمی از جذب کمتر نشاسته توسط الیاف می‌باشد. در نتیجه، با کاهش پیوند بین الیاف، کاغذها حجمی‌تر شده و ضخامت آن افزایش یافته است.

الکتریکی، ضخامت کاغذهای تهیه شده نیز کاهش یافته است. در سطح 0.1 M NaCl غلظت نمک، ضخامت کاغذ به طور معنی‌داری بیشتر از نمونه‌های سطوح دیگر است



شکل ۲. اثر سطوح مختلف هدایت الکتریکی سوسپانسیون الیاف بر ضخامت کاغذ



شکل ۴. اثر سطوح مختلف هدایت الکتریکی سوسپانسیون الیاف بر دانسیتی ظاهری کاغذ

ماندگاری اجزای خمیر کاغذ؛ یا در وزن‌پایه ثابت، ضخامت نمونه‌ها کم می‌شود (استفاده از افروندنی‌های مقاومت‌دهنده) یا افزایش وزن‌پایه و کاهش ضخامت هر دو رخ می‌دهند. شکل ۴ اندازه‌گیری‌های مربوط

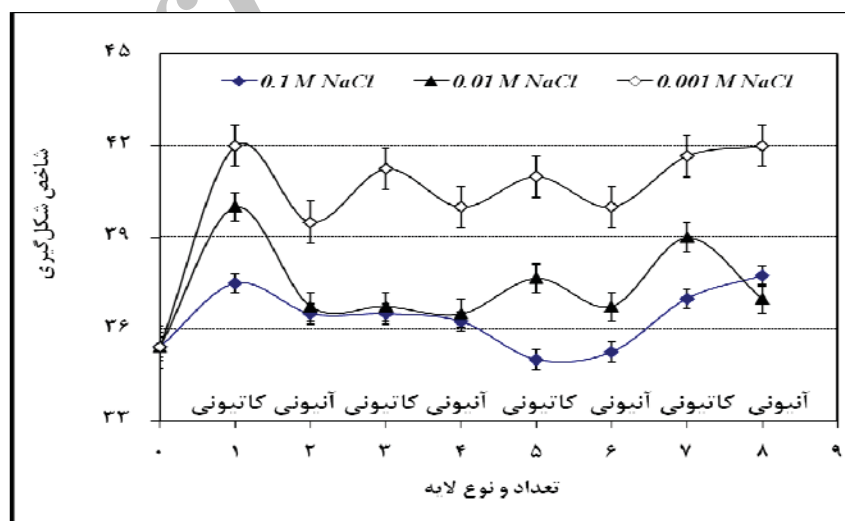
دانسیتی ظاهری کاغذ از خواص مهم فیزیکی آن است که به صورت نسبت وزن‌پایه به ضخامت آن محاسبه می‌شود. بنابراین، در یک ضخامت یکسان، با افزایش دانسیتی ظاهری، وزن‌پایه افزایش می‌یابد (افزایش

شکل‌گیری را به صورت کمی ارائه می‌کند. بدین ترتیب که تصاویر آنالیز شده با کیفیت بهتر شکل‌گیری، اعداد بزرگ‌تری را نمایش می‌دهد.

با کاهش میزان هدایت الکتریکی سوسپانسیون الیاف، شاخص کیفیت شکل‌گیری کاغذها بهبود یافته است (شکل ۵). در این تحقیق، از خمیر کاغذ بدون نرم استفاده شده و احتمال تشکیل دلمه‌های الیاف با افزودن یک درصد نشاسته بدون حضور نرم‌های الیاف بسیار ضعیف است. با وجود این، به نظر می‌رسد با کاهش دافعه الکترواستاتیکی بین اجزای سوسپانسیون خمیر کاغذ، که بر اثر افزایش میزان هدایت الکتریکی آن ایجاد می‌شود، امکان نزدیک شدن این اجزا و تمایل به دلمه‌شدن افزایش می‌یابد. در نتیجه، امکان تشکیل توده‌های الیاف بیشتر می‌شود [۱۴]. با تشکیل دلمه‌های الیاف، کیفیت شکل‌گیری کاغذها نامطلوب‌تر می‌شود. به علاوه، نتایج نشان می‌دهند که میزان تشکیل دلمه‌ها به قدرت یونی (بار و غلظت یونی) سوسپانسیون خمیر کاغذ بستگی دارد [۱۴]. از این رو، با افزایش میزان هدایت الکتریکی از $۰/۰۱\text{ mS/cm}$ تا $۱۰/۵\text{ mS/cm}$ ، احتمال تشکیل توده‌های الیاف افزایش و در نتیجه، شاخص شکل‌گیری کاغذها نیز کاهش بیشتری می‌یابد.

به تغییرات دانسیتۀ ظاهری کاغذهای تهیه شده را نشان می‌دهد. تغییرات دانسیتۀ ظاهری در دامنه حداقل $۰/۴۴۵$ گرم بر سانتی‌متر مکعب برای کاغذهای تهیه شده در سطح $۱/۰$ مولار تا حداقل $۰/۴۸۳$ گرم بر سانتی‌متر مکعب برای کاغذهای تهیه شده در سطح $۰/۰۰۱$ مولار در نوسان بوده است. بنابراین، با کاهش میزان هدایت الکتریکی، دانسیتۀ ظاهری کاغذهای تهیه شده افزایش یافته که بیانگر افزایش مقدار جذب نشاسته است. البته تغییرات دانسیتۀ ظاهری کاغذهای تهیه شده در دو سطح $۰/۰۰۱$ و $۰/۰۰۱$ مولار، تفاوت چندانی را نشان نمی‌دهد که حاکی از این موضوع است که تغییرات مقدار الکتروولیت در این سطوح تأثیر کمتری بر روند جذب نشاسته دارد. در حالی که در سطح $۱/۰$ مولار، تأثیر مقدار زیاد هدایت الکتریکی بر کاهش دانسیتۀ ظاهری را می‌توان به‌وضوح دید.

شکل‌گیری کاغذ تابعی از توزیع سه‌بعدی اجزای خمیر کاغذ در ورق کاغذ است. این ویژگی بر اثر افزایش توده‌ای شدن^۱ الیاف کاهش می‌یابد. دستگاه مورد استفاده در این تحقیق، برای اندازه‌گیری شاخص شکل‌گیری، Light Transmission Image Analysis از سطح ورقه کاغذ پیمایش می‌کند و شاخص کیفیت

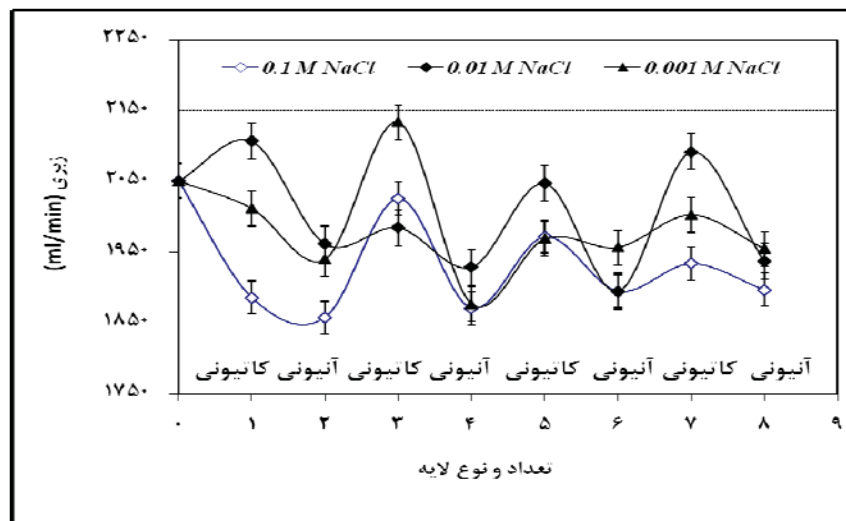


شکل ۵. تغییرات کیفیت شکل‌گیری کاغذ در سطوح مختلف هدایت الکتریکی سوسپانسیون الیاف

1. Flocculation

نداد. احتمال می‌رود استفاده از سوسپانسیون خمیر کاغذ بدون نرمه، علت اصلی آن باشد، که در نهایت با تشکیل کاغذ، ناصافی سطح تقریباً یکسانی دارند (شکل ۶).

در میان ویژگی‌های ساختاری نمونه‌های ارزیابی شده، زبری سطح کاغذها رابطه مشخصی با تغییر مقدار هدایت الکتریکی در سیستم لایه‌به‌لایه نشان



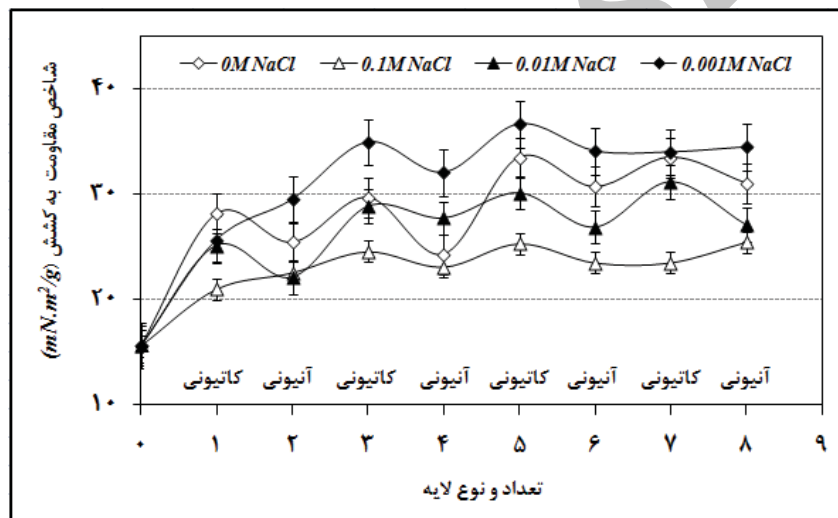
شکل ۶. تغییرات زبری سطح کاغذ در سطوح مختلف هدایت الکتریکی

با افزایش تعداد لایه‌های جذب شده افزایش یافت. در نشاندن اولین لایه، بیشترین مقاومت به کشش در شرایط بدون نمک اندازه‌گیری شد، زیرا جذب در لایه اول، هم با نیروهای جاذبه الکترواستاتیکی و هم با واکنش‌های غیر یونی، نظیر پیوندهای هیدروژنی، انجام می‌شود [۹]. بنابراین، محیط بدون نمک بهترین شرایط را برای جذب حداکثر نشاسته ایجاد می‌کند. اما در ادامه لایه‌نشانی در لایه‌های بعدی، که عامل اصلی جذب نشاسته فقط نیروهای جاذبه الکترواستاتیکی است [۱۶]، افزایش هدایت الکتریکی سبب تغییرات غیر خطی در مقاومت به کشش شده است. در واقع، می‌توان گفت هدایت الکتریکی اثر دوگانه بر مقاومت به کشش دارد؛ طوری که تا هدایت الکتریکی کم $100\text{ }\mu\text{S/cm}$ مولار نمک با هدایت الکتریکی $140\text{ }\mu\text{S/cm}$ باعث افزایش مقاومت به کشش و افزایش میزان غلظت نمک به بیش از این مقدار، سبب کاهش آن شده است. ریوو و همکاران [۳] گزارش دادند که در شرایط هدایت الکتریکی ملایم به علت پیکربندی بهتر پلی‌الکتروولیت‌ها مقدار جذب بیشتر شده است.

قابلیت پیوندپذیری
برای مقایسه قابلیت پیوندپذیری بین الیاف، از داده‌های مقاومت به کشش و پیوند داخلی کاغذ استفاده شد. شکل ۷ تغییرات شاخص مقاومت به کشش کاغذ کاغذهای تهیه شده بر اثر افزایش غلظت نمک در سه سطح هدایت الکتریکی را نشان می‌دهد. بر اساس نظریه پگی [۱۵]، مقاومت به کشش کاغذ با دو عامل مهم شامل مقاومت الیاف و مقاومت پیوند تعیین می‌شود. از آنجا که فرایند تشکیل چندلایه‌های پلیمری، مقاومت الیاف را تغییر نمی‌دهد [۳]، بنابراین، اندازه‌گیری مقاومت به کشش کاغذ شاخصی از پیوندپذیری بین الیاف است، که درنتیجه جذب بیشتر نشاسته، قابلیت پیوندپذیری بین الیاف و به دنبال آن مقاومت به کشش کاغذ چندلایه‌های می‌دهد. شکل ۷ نشان می‌دهد که تشکیل چندلایه‌های پلیمری نشاسته تأثیر بسیار خوبی بر قابلیت پیوندپذیری الیاف داشته است. شاخص مقاومت به کشش در نمونه‌های تیمارنشده 15.62 N.m/g اندازه‌گیری شد و

ویژگی پیوند داخلی^۱، بیانگر کیفیت پیوند در جهت Z یا ضخامت کاغذ است. این ویژگی اهمیت زیادی دارد، زیرا در صورت کمبودن مقاومت پیوند داخلی، عیب ورقورقه شدن^۲ در کاغذ ایجاد می‌شود. تعداد پیوند بین الیاف، سطح میانگین پیوندها، و مقاومت پیوند از عوامل مؤثر بر پیوند داخلی کاغذند [۱۷]. با افزایش تعداد و قدرت پیوند بین الیاف در ضخامت ورق کاغذ این ویژگی افزایش می‌یابد. افزایش جذب نشاسته و پالایش الیاف [۱۸] دو شاخص مهم برای افزایش این مقاومت‌اند.

همچنین اثر نمک در تشکیل ماکرومولکول‌ها با «اندازه مؤثر» [۸] در سوسپانسیون الیاف، که به افزایش جذب منجر می‌شوند، از دیگر فرضیه‌های مطرح شده است. بنابراین، همان‌طورکه در شکل ۷ ملاحظه می‌شود، در محیط با کشش یونی کم ۰/۰۰۱ مولار نمک با هدایت الکتریکی ۱۴۰ $\mu\text{S}/\text{cm}$ ، شاخص مقاومت به کشش بر اثر تشکیل پنج یا هفت لایه نشاسته بر روی سطح الیاف OCC به‌طور چشمگیری افزایش یافته است. گفتنی است لایه‌نشانی با نشاسته آبیونی، مقاومت به کشش نمونه‌ها را کاهش داده است.



شکل ۷. تغییرات شاخص مقاومت به کشش کاغذ در سطوح مختلف هدایت الکتریکی

افزایش هدایت الکتریکی تا ۰/۰۰۱ مولار، افزایش در مقدار آزمون اسکات در لایه‌نشانی بعدی حتی بیشتر از محیط بدون نمک بوده و پس از آن با ادامه افزایش غلظت نمک، پیوند داخلی کاهش یافته است. حداقل مقدار آزمون اسکات برای سطح ۰/۱ مولار در لایه سوم و حدود ۴/۲۳ ژول بر متر مربع اندازه‌گیری شد. در حالی که مقدار این آزمون برای سطح ۰/۰۰۱ مولار و در لایه سوم تقریباً دو برابر، یعنی ۸۴/۹۰ ژول بر متر مربع، اندازه‌گیری شده و حداقل مقدار این آزمون

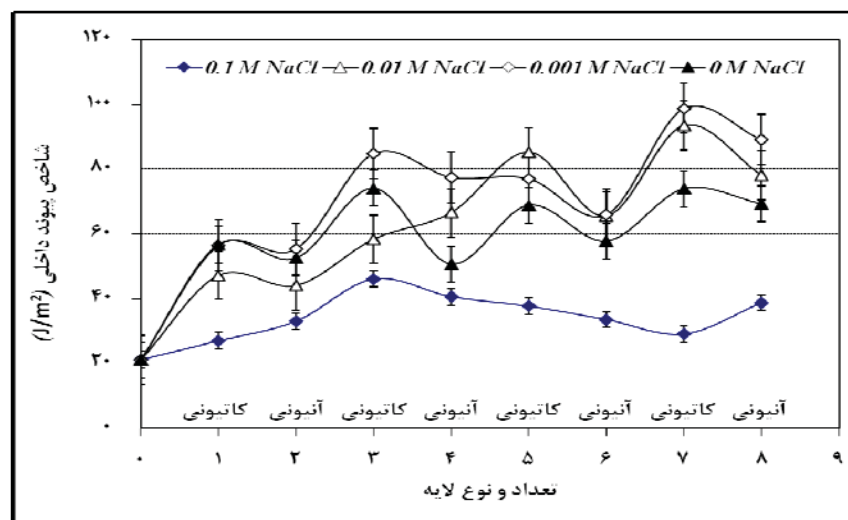
شکل ۸ تأثیر چندلایه‌های نشاسته کاتیونی-آبیونی بر افزایش مقاومت پیوند داخلی کاغذهای تهیه شده را با توجه به تغییرات میزان هدایت الکتریکی نشان می‌دهد. مانند مقاومت به کشش، اثر دوگانه هدایت الکتریکی بر روند تغییرات مقاومت در ویژگی پیوند داخلی هم ملاحظه می‌شود (شکل ۸). با افزایش مقدار هدایت الکتریکی سوسپانسیون الیاف، قابلیت پیوندپذیری بین الیاف در جهت ضخامت کاغذ ابتدا افزایش و سپس کاهش یافته است؛ طوری که با

1. Scott Bond

2. Delamination

شاخص بودن نشاسته در بهبود قابلیت پیوند پذیری در ضخامت کاغذ است. دلایل این امر در مبحث تغییرات مقاومت کششی، اشاره شده است.

۹۸/۷۷ ژول بر متر مربع در لایه هفتم در سطح ۰/۰۰۱ مولار است. این نتایج بیانگر اثرات دوگانه مثبت و منفی افزایش هدایت الکتریکی بر جذب نشاسته و نیز



شکل ۸. تأثیر هدایت الکتریکی سوپریانسیون الیاف پر مقاومت داخلی کاغذ در محیط بدون نمک

پلیالکتروولیت‌ها می‌شود [۹]. هدایت الکتریکی اثر دوگانه‌ای در سیستم لایه‌نشانی بر روی الیاف بازیافتی نشان داد. ابتدا در شرایط کم هدایت الکتریکی (۰/۰۰۱ مولار غلظت نمک)، به علت جذب بیشتر نشاسته، قابلیت پیوند پذیری بین الیاف در مقایسه با شرایط بدون نمک، به طور چشمگیری افزایش یافت، زیرا در این سطح الکتروولیت به علت پیکربندی مؤثرتر ذرات پلیمر [۸] و گسترده‌گی بهتر آن در اطراف سطح الیاف [۳]، جذب نشاسته افزایش یافته است. همچنین در این شرایط، برای ویژگی‌های ساختاری کاغذهای تهیه شده از جمله ضخامت، دانسیتۀ ظاهری، و کیفیت شکل‌گیری، روند بهبودی مشاهده شده است. اما در ادامه با افزایش هدایت الکتریکی تا سطح ۱/۰ مولار نمک کلرید سدیم، با کاهش میزان جذب نشاسته، ساخته‌های مقاومتی کاغذ نیز کاهش یافت. در مطالعات لایه‌نشانی با استفاده از نشاسته‌های کاتیونی-آنیونی بر روی الیاف سیلیکون، افزایش غلظت نمک NaCl از ۱ به ۱۰ میلی‌مولار سبب

نتیجہ گیری

عامل محرک در فرایند لایه‌به‌لایه برای اصلاح خواص الیاف سلولزی، جاذبۀ الکترواستاتیکی بین ذرات کاتیونی-آنیونی پلیمر و سطح یونیزه الیاف است [۱۶]. واضح است هر عاملی که باعث تغییر این جاذبۀ شود، کارایی فرایند LbL را تغییر می‌دهد. نتایج این تحقیق نشان می‌دهد هدایت الکتریکی از طریق تغییر میزان یونیزه شدن سطح الیاف [۳]، تغییر پیکربندی مولکول‌های پلیمر [۳، ۸]، و در نتیجه تغییر برهم‌کنش الکترواستاتیکی بین ذره (الیاف) و مولکول‌های نشاسته، بر میزان جذب آن تأثیر می‌گذارد. نتایج تحقیقات مربوط به تشکیل چندلایه‌های نشاسته کاتیونی-آنیونی بر روی الیاف خمیر کاغذ مکانیکی نیز نشان داده است که دانسیتۀ شارژ یونی نشاسته مورد استفاده باید از یک حد معینی بیشتر باشد تا چندلایه پلی‌الکترولیتی بر روی الیاف تشکیل شود. افزایش هدایت الکتریکی سیستم سبب افزایش سطح حداقل دانسیتۀ شارژ یونی

سپاس‌گزاری

از دکتر سعید ایراندوست، رئیس ایرانی انسیتو تکنولوژی آسیا، به خاطر حمایت همه‌جانبه در انجام این تحقیق صمیمانه تشکر و قدردانی می‌شود.

افزایش ضخامت لایه‌ها شده، ولی در غلظت ۱۰۰ میلی‌مولار نمک، چندلایه تشکیل نشده است [۱۹]. این نتایج نشان‌دهنده اهمیت میزان هدایت الکتریکی سیستم بر کارایی روش چندلایه‌نشانی برخواص نهایی محصول مورد نظر است.

Archive of SID

References

- [1]. Wagberg, L., Forsberg, S., Johansson, A., and Juntti, P. (2002). Engineering of fiber surface properties by application of the polyelectrolyte multilayer concept, Part1: Modification of paper strength. *Journal of Pulp and Paper Science*, 28(7): 222-228.
- [2]. Decher, G., Hong, J.D., and Schmitt, J. (1992). Build up of ultrathin multilayer films by a self-assembly process. III: Consecutively alternating adsorption of anionic and cationic polyelectrolyte on charged surface. *Thin Solid Film*. 210/211: 831-835.
- [3]. Ryu, J. (2009). Investigation of the effect of electrochemical properties of multilayered fibers on the sheet properties and the phenomenon of adsorption of polyelectrolytes onto pulp fiber in LbL (Layer-by-Layer) multilayering, Master thesis, Seoul National University, Korea.
- [4]. Hubbe, M. (2006). Bonding between cellulosic fibers in the absence and presence of dry-strength agent- A review. *BioResource*, 1(2): 281-318.
- [5]. Wistrand, I., Lingstrom, R., and Wagberg, L. (2007). Preparation of electrically conducting cellulose fibers utilizing polyelectrolyte multilayers of poly (3,4-ethylenedioxothiophene):poly (styrene sulphonate) and poly (allyl amine). *European Polymer Journal*, 43 (1): 4075-4091.
- [6]. Youn, H.J., Chin, S.M., Ryu, J.H., and Kwon, H.S. (2007). Basic study on electrochemical properties of multilayered pulp fibers with polyelectrolytes. *Journal of Korea TAPPI*, 39(4):53-60.
- [7]. Steeg, H.G.M., Cohen Stuart, M. A., de Keizer, A., and Bijsterbosch, B.H. (1992). Polyelectrolyte adsorption: A subtle balance of forces. *Langmuir*, 8(10): 2538-2546.
- [8]. Wang, F., and Martin, H. (2002). Charge properties of fibers in the paper mill environment. 1. Effect of electrical conductivity. *Journal of Pulp and Paper Science*, 28(10): 347-353.
- [9]. Lundstrom, H.L., Johansson, E., and Wagberg, L. (2010). Polyelectrolyte multilayers from cationic and anionic starch: Influence of charge density and salt concentration on the properties of the adsorbed layers. *Starch/Starke*, 62(2): 102-114.
- [10]. Vermohlen, K., Lewandowski, H., Narres, H.-D., and Schwuger, M.J. (2000). Adsorption of Polyelectrolytes onto oxides- the influence of ionic strength, molar mass, and Ca²⁺ ions. *Colloids and Surfaces A: Physicochemical and Engineering Aspects*, 163 (1): 45-53.
- [11]. Herrington, T., and Midmore, B. (1992). Adsorption of ions at the cellulose/aqueous electrolyte interface. Part 1. Charge/pH isotherms. *Journal of the Chemical Society, Faraday Transactions*, 1. 180(6): 1525-1537.
- [12]. Lloyd, J., and Horne, C. (1992). The determination of fiber charge and acidic groups of radiate pine pulps. *Nordic Pulp Paper Research Journal*, 8(1): 48-57.
- [13]. Lindstrom, T., and Wagberg, L. (1983). Effects of pH and electrolyte concentration on the adsorption of cationic polyacrylamides on cellulose. *Tappi Journal*. 66(6): 83-85.
- [14]. Larsson, A., and Staffan, W. (1998). Flocculation of cationic amylopectin starch and colloidal silicic acid. The effect of various salt. *Colloidals and Surfaces*, 139(2): 259-270.
- [15]. Page, D.H. (1969). Theory for the tensile strength of paper. *Tappi Journal*, 52(4): 674-681.

- [16]. Xing, Q., Eadula, S. R., and Lvov, Y. M. (2007). Cellulose fiber-enzyme composites fabricated through Layer-by-Layer nanoassembly. *Biomacromolecules*, 8(6): 1987-1991.
- [17]. Kaubaa, A., and Zoltan, K. (1994). Measure of the internal bond strength of paper/board. *Tappi Journal*, 78(3): 103-111.
- [18]. Lim, W.J., Liang, Y.T., and Seib, P.A. (1991). Cationic oat starch: preparation and effect on paper strength. *Cereal Chemistry*, 69(3): 237-239.
- [19]. Johansson, E., Lundstrom, L., Norgren, M., and Wagberg, L. (2009). Adsorption behavior and adhesive properties of biopolyelectrolyte multilayers formed from cationic and anionic starch. *Biomacromolecules*, 10(7): 1768–1776.